

K-64

23/X-68

ОБЪЕДИНЕННЫЙ
ИНСТИТУТ
ЯДЕРНЫХ
ИССЛЕДОВАНИЙ

Дубна



P4 - 4028

Г. Конвент

СПИН-ФОНОННОЕ ВЗАИМОДЕЙСТВИЕ И ЗАТУХАНИЕ
МАГНИТНЫХ ВОЗБУЖДЕНИЙ
В ФЕРРОМАГНИТНОМ КРИСТАЛЛЕ

ЛАБОРАТОРИЯ ТЕОРЕТИЧЕСКОЙ ФИЗИКИ

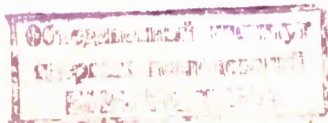
1968

P4 - 4028

25.05/2. np.

Г. Конвент

СПИН-ФОНОННОЕ ВЗАИМОДЕЙСТВИЕ И ЗАТУХАНИЕ
МАГНИТНЫХ ВОЗБУЖДЕНИЙ
В ФЕРРОМАГНИТНОМ КРИСТАЛЛЕ



1. Введение

При исследовании спин-фононного взаимодействия в ферромагнитных кристаллах гамильтониан его обычно получают, разлагая обменный интеграл в ряд по смещениям атомов из положений равновесия и ограничиваясь первыми членами разложения (см., например, ^{/1-3/}). При таком подходе в константы спин-фононного взаимодействия входят производные от обменного интеграла, взятые в точках равновесных положений атомов.

С.В.Тябликовым ^{/4/} был предложен новый метод исследования спин-фононного взаимодействия, не основывающийся на этом разложении. Принимается, что обменный интеграл есть функция мгновенного положения атомов, которое меняется вследствие их теплового движения, и что эту функцию можно разложить в ряд Фурье. Предполагается, что смещения атомов из положений равновесия малы и взаимодействие между магнитными и колебательными возбуждениями в кристалле учитывается самосогласованным способом. Таким образом, для исследования магнитных возбуждений в ферромагнетике и их взаимодействия с фоно-

нами достаточно, чтобы обменный интеграл был известен как функция расстояния между атомами.

^{/4/} В работе были рассмотрены некоторые эффекты спин-фононного взаимодействия. В частности, была получена перенормировка фононных частот и энергий магнитных возбуждений. В предлагаемой работе мы исследуем влияние спин-фононного взаимодействия на спектр элементарных возбуждений гейзенберговского ферромагнетика во втором приближении теории возмущений для массового оператора функции Грина. Не-взаимодействующие фононная и спиновая подсистемы рассматриваются соответственно в псевдогармоническом приближении ^{/4,5/} и приближении хаотических фаз ^{/3/}. Мы ограничиваемся рассмотрением однофононных процессов взаимодействия (процессы распада и рассеяния магнитных возбуждений на фононах). Для простоты рассматриваем кристаллы кубической симметрии и принимаем, что спин атома $S = 1/2$. В качестве примера рассмотрим затухание магнитных возбуждений в ферромагнетике, обусловленное процессами их взаимодействия с фононами.

2. Гамильтониан

Гамильтониан ферромагнитного кристалла запишем в виде ^{/4/}:

$$\begin{aligned} \mathcal{H} = & \sum_{\mathbf{k}, \mathbf{j}} \omega_{\mathbf{j}}(\mathbf{k}) (a_{\mathbf{k}, \mathbf{j}}^+ a_{\mathbf{k}, \mathbf{j}} + 1/2) - \mu H \sum_{\mathbf{i}} S_i^z - \\ & - \frac{1}{2N} \sum_{t_1 t_2 \nu} J(\nu) e^{i(\nu, t_1 - t_2)} e^{i \xi_{\nu}(t_1 t_2)} (S_{t_1}, S_{t_2}), \end{aligned} \quad (2.1)$$

где

$$\xi_{\nu}(f_1 f_2) = N^{-\frac{1}{2}} \sum_{kj} (\nu, C_j(k; f_1 f_2)) (a_{-kj}^+ + a_{kj}), \quad (2.2)$$

$$C_j^{\alpha}(k; f_1 f_2) = (2M\omega_j(k))^{-\frac{1}{2}} e_j^{\alpha}(k) (e^{i(k, f_1)} - e^{i(k, f_2)}).$$

Здесь a_{kj}^+ , a_{kj} – операторы порождения и уничтожения фонара с энергией $\omega_j(k)$, $e_j(k)$ – векторы поляризации ($a, j = 1, 2, 3$), $J(\nu)$ – фурье-компоненты обменного интеграла, \vec{s}_f – оператор спина, μ – магнетон Бора, H – внешнее магнитное поле, $\vec{r} = \vec{R}_f$ – равновесное положение f -го атома, M – масса атома. (A, B) обозначает скалярное произведение векторов \vec{A} и \vec{B} . Мы пользуемся системой единиц, в которой $\hbar = 1$.

Будем считать, что $\omega_j(k)$ – фононные энергии, вычисленные в псевдогармоническом приближении /4,5/, так что фононная подсистема описывается эффективным псевдогармоническим гамильтонианом.

Так как мы рассматриваем случай $S = 1/2$, удобно перейти от спиновых операторов к операторам Паули b_f^+, b_f^- :

$$S_f^x = \frac{1}{2} (b_f^+ + b_f^-), \quad S_f^y = \frac{i}{2} (b_f^+ - b_f^-), \quad (2.3)$$

$$S_f^z = \frac{1}{2} - n_f, \quad n_f = b_f^+ b_f^-,$$

которые удовлетворяют известным перестановочным соотношениям

$$[b_f, b_g^+] = (1 - 2n_f) \Delta(f - g),$$

$$[b_f, b_g] = [b_f^+, b_g^+] = 0, \quad (2.4)$$

где $\Delta(f - g)$ обозначает символ Кронекера.

Запишем уравнения движения для операторов a_{kj}^+ , a_{kj} и b_f в гейзенберговском представлении. Учитывая (2.1), (2.3), (2.4) и перестановочные соотношения

$$[a_{kj}, a_{k'j'}^+] = \Delta(k - k') \delta_{jj'}, \quad (2.5)$$

$$[a_{kj}, a_{k'j'}] = [a_{kj}^+, a_{k'j'}^+] = 0,$$

получим

$$\begin{aligned} i \frac{d}{dt} a_{kj} &= \omega_j(k) a_{kj} - \\ &- \frac{1}{2N} \sum_{t_1 t_2 \nu} J(\nu) e^{i(\nu, t_1 - t_2)} (iN - \nu) (\nu, C_j(-k; t_1 t_2)) \times \\ &\times e^{i\xi_{\nu}(t_1 t_2)} (s_{t_1}, s_{t_2}), \end{aligned} \quad (2.6)$$

$$\begin{aligned}
& i \frac{d}{dt} a_{-k_j}^+ = -\omega_j(k) a_{-k_j}^+ + \\
& + \frac{1}{2N} \sum_{t_1 t_2 \nu} J(\nu) e^{i(\nu, t_1 - t_2)} (iN - \nu) (\nu, C_j(-k; t_1 t_2)) \times \\
& \times e^{i\xi_\nu(t_1 t_2)} (S_{t_1}, S_{t_2}), \tag{2.7}
\end{aligned}$$

$$\begin{aligned}
& i \frac{d}{dt} b_t = \mu H b_t + \\
& + \frac{1}{2N} \sum_{t_1 \nu} J(\nu) e^{i(\nu, t - t_1)} e^{i\xi_\nu(tt_1)} (b_t - b_{t_1}) + \\
& + \frac{1}{N} \sum_{t_1 \nu} J(\nu) e^{i(\nu, t - t_1)} e^{i\xi_\nu(tt_1)} (n_t b_{t_1} - b_t n_{t_1}). \tag{2.8}
\end{aligned}$$

В уравнениях (2.6) и (2.7) мы сохраним для удобства и сокращения записи скалярное произведение спиновых операторов (S_{t_1}, S_{t_2}) , не выражая его через операторы Паули.

3. Уравнения для функции Грина

Для определения энергий магнитных возбуждений кристалла воспользуемся методом двухвременных запаздывающих функций Грина ^{/3,6/}. Рассмотрим функцию Грина

$$\ll b_f(t) | b_g^+(t') \gg = \Theta^-(t-t') \langle [b_f(t), b_g^+(t')] \rangle . \quad (3.1)$$

Пользуясь уравнениями движения (2.8) и учитывая коммутационные соотношения (2.4), получим следующее уравнение для функции Грина (3.1):

$$i \frac{d}{dt} \ll b_f | b_g^+ \gg = i \sigma \Delta (f-g) \delta(t-t') + \mu H \ll b_f | b_g^+ \gg + \\ + \frac{1}{2N} \sum_{t_1 \nu} J(\nu) e^{i(\nu, t-t_1)} \ll e^{i\xi_\nu(t t_1)} (b_f - b_{t_1}) | b_g^+ \gg + \quad (3.2)$$

$$+ \frac{1}{N} \sum_{t_1 \nu} J(\nu) e^{i(\nu, t-t_1)} \ll e^{i\xi_\nu(t t_1)} (n_f b_{t_1} - b_f n_{t_1}) | b_g^+ \gg ,$$

где

$$\sigma = 1 - 2 \langle n_f \rangle = 1 - 2 \bar{n} \quad (3.3)$$

не зависит от номера узла f в силу трансляционной симметрии системы.

Учтем теперь принятое нами приближение, согласно которому в отсутствие спин-фононного взаимодействия спиновая подсистема описывается в рамках приближения хаотических фаз^{/3/}. Это означает, что высшие по операторам Паули функции Грина в уравнении (3.2) можно расцепить следующим образом:

$$\langle\langle e^{i\xi_\nu(n_1)} n_f b_{f_1} | b_g^+ \rangle\rangle \rightarrow \langle n_f \rangle \langle\langle e^{i\xi_\nu(n_1)} b_{f_1} | b_g^+ \rangle\rangle ,$$

$$\langle\langle e^{i\xi_\nu(n_1)} b_f n_{f_1} | b_g^+ \rangle\rangle \rightarrow \langle n_{f_1} \rangle \langle\langle e^{i\xi_\nu(n_1)} b_f | b_g^+ \rangle\rangle , \quad (3.4)$$

$$\langle n_f \rangle = \langle n_{f_1} \rangle = \bar{n} .$$

В этой работе мы ограничимся рассмотрением однофононных процессов. Поэтому функцию Грина $\langle\langle e^{i\xi_\nu(n_1)} b_f | b_g^+ \rangle\rangle$, описывающую многофононный процесс, выразим через функции Грина $\langle\langle a_{-k_1}^+ b_f | b_g^+ \rangle\rangle$ и $\langle\langle a_{k_1} b_f | b_g^+ \rangle\rangle$, описывающие процессы с участием одного фона. Для этого применим следующую процедуру расцепления:

$$\langle\langle e^{i\xi_\nu(n_1)} b_f | b_g^+ \rangle\rangle = \sum_{n=0}^{\infty} \frac{1}{n!} \langle\langle (i\xi_\nu(n_1))^n b_f | b_g^+ \rangle\rangle =$$

$$= \langle\langle b_t | b_{\epsilon}^+ \rangle\rangle + \frac{1}{2!} \langle\langle (i\xi_{\nu}(ff_1))^2 b_t | b_{\epsilon}^+ \rangle\rangle + \frac{1}{4!} \langle\langle (i\xi_{\nu}(ff_1))^4 b_t | b_{\epsilon}^+ \rangle\rangle + \dots$$

$$+ \langle\langle i\xi_{\nu}(ff_1) b_t | b_{\epsilon}^+ \rangle\rangle + \frac{1}{3!} \langle\langle (i\xi_{\nu}(ff_1))^3 b_t | b_{\epsilon}^+ \rangle\rangle + \dots \rightarrow$$

$$\rightarrow \langle\langle b_t | b_{\epsilon}^+ \rangle\rangle + \frac{1}{2!} \langle\langle (i\xi_{\nu}(ff_1))^2 \rangle\rangle \langle\langle b_t | b_{\epsilon}^+ \rangle\rangle + \dots \quad (3.5)$$

$$+ \langle\langle i\xi_{\nu}(ff_1) b_t | b_{\epsilon}^+ \rangle\rangle + \frac{1}{3!} \langle\langle (i\xi_{\nu}(ff_1))^3 \rangle\rangle \langle\langle i\xi_{\nu}(ff_1) b_t | b_{\epsilon}^+ \rangle\rangle + \dots$$

Все средние $\langle \dots \rangle$ в этом выражении вычисляются по нулевому приближению к спин-фононному взаимодействию. Поэтому средние от нечётных степеней операторов смещения $\xi_{\nu}(ff_1)$ будут равны нулю, и коэффициенты перед функциями Грина $\langle\langle b_t | b_{\epsilon}^+ \rangle\rangle$ и $\langle\langle i\xi_{\nu}(ff_1) b_t | b_{\epsilon}^+ \rangle\rangle$ можно опять свернуть в экспоненту:

$$1 + \frac{1}{2!} \langle\langle (i\xi_{\nu}(ff_1))^2 \rangle\rangle + \frac{1}{4!} \langle\langle (i\xi_{\nu}(ff_1))^4 \rangle\rangle + \dots = \langle e^{i\xi_{\nu}(ff_1)} \rangle \quad .$$

Таким образом, процедуру расцепления (3.5) можно кратко представить в виде

$$\begin{aligned} & \langle\langle e^{i\xi_{\nu}(ff_1)} b_t | b_{\epsilon}^+ \rangle\rangle \rightarrow \langle e^{i\xi_{\nu}(ff_1)} \rangle \langle\langle b_t | b_{\epsilon}^+ \rangle\rangle + \\ & + \langle e^{i\xi_{\nu}(ff_1)} \rangle \langle\langle i\xi_{\nu}(ff_1) b_t | b_{\epsilon}^+ \rangle\rangle \quad . \end{aligned} \quad (3.6)$$

Заметим, что в псевдогармоническом приближении

$$\begin{aligned} < e^{i \xi_\nu(t-t_1)} > &= \exp(-\frac{1}{2} < \xi_\nu^2(t-t_1) >) \equiv e^{-2v_\nu(g)} = \\ &= e^{-2w_\nu(0) + 2w_\nu(g)}, \quad \vec{g} = \vec{f} - \vec{f}_1, \end{aligned} \quad (3.7)$$

где

$$2v_\nu(g) = \frac{1}{NM} \sum_{k'j'} \frac{|(\nu, e_{j'}(k'))|^2}{2\omega_{j'}(k')} \operatorname{cth} \frac{\omega_{j'}(k')}{2\theta} (1 - \cos(k', g)),$$

$\theta = k_B T$, k_B – постоянная Больцмана.

Для кубического кристалла ^{/7/}

$$2v_\nu(g) = \frac{\nu^2}{3NM} \sum_{k'j'} \frac{1}{2\omega_{j'}(k')} \operatorname{cth} \frac{\omega_{j'}(k')}{2\theta} (1 - \cos(k', g)). \quad (3.8)$$

Учитывая расщепления (3.4) и (3.6), а также принимая во внимание (2.2) и (3.7), уравнение (3.2) для спиновой функции Грина можно привести к виду

$$\begin{aligned} i \frac{d}{dt} \langle\langle b_t | b_g^+ \rangle\rangle &= i \sigma \Delta (f - g) \delta(t - t') + \\ &+ \frac{\sigma}{2N} \sum_{t_1\nu} J(\nu) e^{-2v_\nu(g)} e^{i(\nu, f - t_1)} \langle\langle b_t - b_{t_1} | b_g^+ \rangle\rangle + \end{aligned} \quad (3.9)$$

$$+ \frac{i\sigma}{2N} \sum_{t_1\nu} J(\nu) e^{-2\nu g(t)} e^{i(\nu, t-t_1)} \frac{(v, e_j(k))}{\sqrt{2MN} \omega_j(k)} (e^{i(k,t)} - e^{i(k,t_1)}) \times$$

$$\times \ll (a_{-k_j}^+ + a_{k_j}) (b_t - b_{t_1}) | b_g^+ \gg .$$

В приближенном уравнении для спиновой функции Грина (3.8) появляется смешанная спин-фононная функция Грина $\ll (a_{-k_j}^+ + a_{k_j}) b_t | b_g^+ \gg$, которую вычислим в том же приближении. При этом удобно рассмотреть систему уравнений для функций $\ll (a_{-k_j}^+ + a_{k_j}) b_t | b_g^+ \gg$. Принимая во внимание уравнения движения (2.6) – (2.8), для этих функций Грина получим следующую систему уравнений:

$$i \frac{d}{dt} \ll (a_{-k_j}^+ + a_{k_j}) b_t | b_g^+ \gg = i\delta(t-t') \Delta(t-g) \ll (a_{-k_j}^+ + a_{k_j}) (1 - 2n_t) \gg -$$

$$-\omega_j(k) \ll (a_{-k_j}^+ - a_{k_j}) b_t | b_g^+ \gg + \mu H \ll (a_{-k_j}^+ + a_{k_j}) b_{t'} | b_g^+ \gg +$$

$$+ \frac{1}{2N} \sum_{t_2\nu} J(\nu) e^{i(\nu, t-t_2)} \ll (a_{-k_j}^+ + a_{k_j}) e^{i\xi_{\nu}(tt_2)} (b_t - b_{t_2}) | b_g^+ \gg + \quad (3.10)$$

$$+ \frac{1}{N} \sum_{t_2\nu} J(\nu) e^{i(\nu, t-t_2)} \ll (a_{-k_j}^+ + a_{k_j}) e^{i\xi_{\nu}(tt_2)} (a_t b_{t_2} - b_t a_{t_2}) | b_g^+ \gg$$

$$\begin{aligned}
& i \frac{d}{dt} \ll \left(a_{-k_j}^+ - a_{k_j}^- \right) b_t | b_g^+ \gg = i \delta(t-t') \Delta(f-g) \ll \left(a_{-k_j}^+ - a_{k_j}^- \right) (1 - 2 n_t) \gg - \\
& - \omega_f(k) \ll \left(a_{-k_j}^+ + a_{k_j}^- \right) b_t | b_g^+ \gg + \mu H \ll \left(a_{-k_j}^+ - a_{k_j}^- \right) b_t | b_g^+ \gg + \\
& + \frac{1}{2N} \sum_{t_2 \nu} J(\nu) e^{i(\nu, t-t_2)} \ll \left(a_{-k_j}^+ - a_{k_j}^- \right) e^{i\xi_\nu(t t_2)} (b_t - b_{t_2}) | b_g^+ \gg + \\
& + \frac{1}{N} \sum_{t_2 \nu} J(\nu) e^{i(\nu, t-t_2)} \ll \left(a_{-k_j}^+ - a_{k_j}^- \right) e^{i\xi_\nu(t t_2)} (n_t b_{t_2} - b_t n_{t_2}) | b_g^+ \gg + \\
& + \frac{1}{N} \sum_{t_1 t_2 \nu} J(\nu) e^{i(\nu, t_1-t_2)} (i N^{-\frac{1}{2}}) (\nu, C_t (-k; f_1 f_2)) \ll e^{i\xi_\nu(t_1 t_2)} (S_{t_1}, S_{t_2}) b_t | b_g^+ \gg .
\end{aligned} \tag{3.11}$$

Согласно принятым предположениям применяем следующую процедуру расцепления:

$$\begin{aligned}
& \ll \left(a_{-k_j}^+ + a_{k_j}^- \right) e^{i\xi_\nu(t t_2)} (n_t b_{t_2} - b_t n_{t_2}) | b_g^+ \gg \rightarrow \\
& \rightarrow - \bar{n} \ll \left(a_{-k_j}^+ + a_{k_j}^- \right) e^{i\xi_\nu(t t_2)} (b_t - b_{t_2}) | b_g^+ \gg ,
\end{aligned} \tag{3.12}$$

$$\ll \left(a_{-k_j}^+ \pm a_{-k_j}^- \right) e^{i \xi_\nu(t_1 t_2)} (b_t - b_{t_2}) | b_g^+ \gg \rightarrow$$

$$\rightarrow < e^{i \xi_\nu(t_1 t_2)} > \ll \left(a_{-k_j}^+ \pm a_{-k_j}^- \right) (b_t - b_{t_2}) | b_g^+ \gg + \quad (3.13)$$

$$+ < e^{i \xi_\nu(t_1 t_2)} > < i \left(a_{-k_j}^+ \pm a_{-k_j}^- \right) \xi_\nu(t_1 t_2) > \ll b_t - b_{t_2} | b_g^+ \gg ,$$

$$\ll e^{i \xi_\nu(t_1 t_2)} (S_{t_1}, S_{t_2}) b_t | b_g^+ \gg \rightarrow \quad (3.14)$$

$$\rightarrow < e^{i \xi_\nu(t_1 t_2)} > < (S_{t_1}, S_{t_2}) > \ll b_t | b_g^+ \gg .$$

Здесь средние $\left< \left(a_{-k_j}^+ \pm a_{-k_j}^- \right) (1 - 2 n_t) \right>$ вычисляем в нульевом приближении по взаимодействию. Таким образом,

$$\left< \left(a_{-k_j}^+ \pm a_{-k_j}^- \right) (1 - 2 n_t) \right> = 0 \quad . \quad (3.15)$$

Кроме того, заметим, что

$$\frac{1}{2N} \sum_{t_1 t_2 \nu} J(\nu) e^{-2 \nu \xi_\nu(t_1 t_2)} \left< (S_{t_1}, S_{t_2}) \right> (\nu, C_j(-k; t_1, t_2)) e^{i(\nu, t_1 - t_2)} = 0 \quad (3.16)$$

Это легко проверить, используя (2.2) и (3.7) и замечая, что $\langle S_{t_1}, S_{t_2} \rangle$ в силу трансляционной симметрии системы зависит от разности $t_1 - t_2$. Таким образом, в уравнении (3.11) член, содержащий $\langle S_{t_1}, S_{t_2} \rangle$, после расцепления (3.14) обратится в нуль.

Применяя в уравнениях (3.10) и (3.11) расцепления (3.12) – (3.14), а также учитывая (2.2), (3.7), (3.15) и (3.16), для смешанных спин-функций Грина получим следующую систему уравнений:

$$\begin{aligned}
& i \frac{d}{dt} \langle\langle (a_{-k_j}^+ + a_{k_j}) b_t | b_g^+ \rangle\rangle = -\omega_j(k) \langle\langle (a_{-k_j}^+ - a_{k_j}) b_t | b_g^+ \rangle\rangle + \\
& + \mu H \langle\langle (a_{-k_j}^+ + a_{k_j}) b_t | b_g^+ \rangle\rangle + \\
& + \frac{\sigma}{2N} \sum_{t_2} \int(\nu) e^{-2\nu_p(t-t_2)} e^{i(\nu,t-t_2)} \langle\langle (a_{-k_j}^+ + a_{k_j}) (b_t - b_{t_2}) | b_g^+ \rangle\rangle + \\
& + \frac{i\sigma}{2N} \sum_{t_2} \frac{(2N_{k_j}^0 + 1)(\nu, e_j(-k))}{\sqrt{2NM\omega_j(k)}} \int(\nu) e^{-2\nu_p(t-t_2)} e^{i(\nu,t-t_2)} \times \\
& \times (e^{-i(k,t)} - e^{-i(k,t_2)}) \langle\langle b_t - b_{t_2} | b_g^+ \rangle\rangle, \tag{3.17}
\end{aligned}$$

$$\begin{aligned}
& i \frac{d}{dt} \langle\langle (a_{-k_j}^+ - a_{k_j}) b_t | b_g^+ \rangle\rangle = -\omega_j(k) \langle\langle (a_{-k_j}^+ + a_{k_j}) b_t | b_g^+ \rangle\rangle + \\
& + \mu H \langle\langle (a_{-k_j}^+ - a_{k_j}) b_t | b_g^+ \rangle\rangle + \\
& + \frac{\sigma}{2N} \sum_{t_2} \int(\nu) e^{-2\nu_p(t-t_2)} e^{i(\nu,t-t_2)} \langle\langle (a_{-k_j}^+ - a_{k_j}) (b_t - b_{t_2}) | b_g^+ \rangle\rangle -
\end{aligned}$$

$$-\frac{i\sigma}{2N} \sum_{t_2\nu} \frac{(\nu, e_j(-k))}{\sqrt{2MN\omega_j(k)}} J(\nu) e^{-2v_\nu(t-t_2)} e^{i(\nu, t-t_2)} \times \\ (3.18)$$

$$\times (e^{-i(k,t)} - e^{-i(k,t_2)}) \ll b_t - b_{t_2} | b_g^+ \gg ,$$

где

$$N_{kj}^0 = (e^{\frac{\omega_j(-k)}{\theta}} - 1)^{-1} \quad (3.19)$$

средние числа фононов с энергией $\omega_j(k)$ при температуре θ .

Уравнения (3.9), (3.17) и (3.18) образуют замкнутую систему уравнений для функций Грина $\ll b_g | b_g^+ \gg$ и $\ll (a_{-kj}^+ \pm a_{kj}) b_t | b_g^+ \gg$.

4. Решение системы уравнений для функций Грина

Система уравнений (3.9), (3.17) и (3.18) имеет довольно сложный вид. Решим ее при двух дополнительных упрощающих предположениях.

Во-первых, примем, что функция $2v_\nu(g)$ (ср.(3.8)) быстро убывает с ростом g , так что можно, как и в работе ^{/4/}, ограничиться приближением

$$J(\nu) e^{-2v_\nu(g)} = J(\nu) e^{-2w_\nu(0)} + 2w_\nu(g) \approx J(\nu) e^{-2w_\nu(0)} \equiv J(\nu), \quad (4.1)$$

где

$$2w_\nu(0) = \frac{\nu^2}{3NM} \sum_{kj} \frac{1}{2\omega_j(k)} \operatorname{ctg} \frac{\omega_j(k)}{2\theta}$$

является фактором Дебая–Валлера. Предположение о быстром убывании $2 V_\nu(g)$ с ростом g делается обычно в теории рассеяния рентгеновских лучей кристаллами (ср., например, ⁷).

Во–вторых, в дальнейшем будем пренебрегать процессами переброса и учтём только нормальные процессы во взаимодействии между фононами и магнитными возбуждениями.

При принятых предположениях, совершая фурье–преобразование по времени

$$\langle\langle \dots | \dots \rangle\rangle = \int_{-\infty}^{\infty} \langle\langle \dots | \dots \rangle\rangle_E e^{-iE t} dE,$$

и переходя в паули–операторах к обратному пространству

$$b_f = N^{-\frac{1}{2}} \sum_q b_q e^{i(q, f)}, \quad (4.2)$$

$$b_f^+ = N^{-\frac{1}{2}} \sum_q b_q^+ e^{-i(q, f)},$$

систему уравнений (3.9), (3.17) и (3.18) для рассматриваемых функций Грина можно привести к следующему виду :

$$\{E - \tilde{E}(q)\} \langle\langle b_q | b_{q'}^+ \rangle\rangle = \frac{i\sigma}{2\pi} \Delta(q - q') +$$

$$+ \frac{i\sigma}{2} \sum_{kj} (2MN\omega_j(k))^{-\frac{1}{2}} \{(k, e_j(k)) [\tilde{J}(q-k) - \tilde{J}(k)] -$$

$$- (q, e_j(k)) [\tilde{J}(q-k) - \tilde{J}(q)]\} \langle\langle (a_{-kj}^+ + a_{kj}) b_{q-k} | b_q^+ \rangle\rangle, \quad (4.3)$$

$$\{E - \tilde{E}(q)\} \ll (a_{-k_j}^+ + a_{k_j}) b_q | b_q^+, \gg + \omega_j(k) \ll (a_{-k_j}^+ - a_{k_j}) b_q | b_q^+, \gg =$$

$$= \frac{i\sigma(2N_{kj}^0 + 1)}{2\sqrt{2MN}\omega_j(k)} \{ (k, e_j(-k)) [\tilde{J}(k) - \tilde{J}(q+k)] +$$
(4.4)

$$+ (q, e_j(-k)) [\tilde{J}(q) - \tilde{J}(q+k)] \ll b_{q+k} | b_q^+, \gg ,$$

$$\omega_j(k) \ll (a_{-k_j}^+ + a_{k_j}) b_q | b_q^+, \gg + \{E - \tilde{E}(q)\} \ll (a_{-k_j}^+ - a_{k_j}) b_q | b_q^+, \gg =$$

$$= \frac{-i\sigma}{2\sqrt{2MN}\omega_j(k)} \{ (k, e_j(-k)) [\tilde{J}(k) - \tilde{J}(q+k)] +$$
(4.5)

$$+ (q, e_j(-k)) [\tilde{J}(q) - \tilde{J}(q+k)] \} \ll b_{q+k} | b_q^+, \gg ,$$

где

$$\tilde{E}(q) = \mu H + \frac{1}{2}\sigma \{ \tilde{J}(0) - \tilde{J}(q) \},$$
(4.6)

$$\tilde{J}(q) = J(q) e^{-2W_q(0)},$$

В уравнениях (4.3)-(4.5) мы не пишем индекса Е при $\ll \dots | \dots \gg$, так как в дальнейшем это сокращение не вызовет никаких недоразумений.

Формула (4.6) определяет в первом приближении энергию магнитных возбуждений в ферромагнитном кристалле, перенормированную за счёт

спин-фононного взаимодействия. Она была получена впервые в работе /4/.

Приводим к более удобному виду систему уравнений (4.3) – (4.5).
Введем обозначение

$$A_j(q; k) = \frac{-i\sigma}{2\sqrt{2MN}\omega_j(k)} \{ (k, e_j(k)) [\tilde{J}(k) - \tilde{J}(q-k)] + \\ + (q, e_j(k)) [\tilde{J}(q-k) - \tilde{J}(q)] \} \quad (4.7)$$

и совершим в (4.4) и (4.5) замену $\vec{q} \rightarrow \vec{q} - \vec{k}$. Тогда система уравнений (4.3) – (4.5) примет особенно простой вид:

$$\{ E - \tilde{E}(q) \} \ll b_q | b_{q'}^+ \gg = \frac{i\sigma}{2\pi} \Delta(q-q') + \\ + \sum_{kj} A_j(q; k) \ll (a_{-kj}^+ + a_{kj}) b_{q-k} | b_{q'}^+ \gg , \quad (4.8)$$

$$\{ E - \tilde{E}(q-k) \} \ll (a_{-kj}^+ + a_{kj}) b_{q-k} | b_{q'}^+ \gg + \\ + \omega_j(k) \ll (a_{-kj}^+ - a_{kj}) b_{q-k} | b_{q'}^+ \gg = \quad (4.8)$$

$$= (2N_{kj}^0 + 1) A_j^*(q; k) \ll b_q | b_{q'}^+ \gg ,$$

$$\omega_j(k) \ll (a_{-kj}^+ + a_{kj}) b_{q-k} | b_{q'}^+ \gg +$$

$$+ \{ E - \tilde{E}(q - k) \} \ll (a_{-kj}^+ - a_{kj}^-) b_{q-k} | b_q^+ \gg = \\ = -A_j^*(q; k) \ll b_q | b_q^+ \gg . \quad (4.10)$$

Из (4.9) и (4.10) следует, что

$$\ll (a_{-kj}^+ + a_{kj}^-) b_{q-k} | b_q^+ \gg = \\ = \frac{A_j^*(q; k) \{ (2N_{kj}^0 + 1) [E - \tilde{E}(q - k)] + \omega_j(k) \}}{[E - \tilde{E}(q - k)]^2 - \omega_j^2(k)} \ll b_q | b_q^+ \gg = \\ (4.11)$$

$$= A_j^*(q; k) \{ \frac{N_{kj}^0}{E - \tilde{E}(q - k) + \omega_j(k)} + \frac{N_{kj}^0 + 1}{E - \tilde{E}(q - k) - \omega_j(k)} \} \ll b_q | b_q^+ \gg ,$$

$$\ll (a_{-kj}^+ - a_{kj}^-) b_{q-k} | b_q^+ \gg =$$

$$= A_j^*(q; k) \frac{\{ E - \tilde{E}(q - k) + (2N_{kj}^0 + 1) \omega_j(k) \}}{[E - \tilde{E}(q - k)]^2 - \omega_j^2(k)} \ll b_q | b_q^+ \gg = \\ (4.12)$$

$$= A_j^*(q; k) \{ \frac{N_{kj}^0}{E - \tilde{E}(q - k) + \omega_j(k)} - \frac{N_{kj}^0 + 1}{E - \tilde{E}(q - k) - \omega_j(k)} \} \ll b_q | b_q^+ \gg$$

Таким образом, нам удалось выразить смешанную спин-фононную функцию Грина через спиновую. Окончательно, подставляя (4.11) в уравнение (4.8), для спиновой функции Грина получаем следующее выражение:

$$\langle\langle b_q | b_q^+ \rangle\rangle = \frac{i\sigma}{2\pi} \frac{\Delta(q-q')}{E - \tilde{E}(q) - M_q(E)}, \quad (4.13)$$

где массовый оператор $M_q(E)$ имеет вид:

$$M_q(E) = \sum_{kj} |A_j(q+k)|^2 \left\{ \frac{N_{kj}^0}{E - \tilde{E}(q+k) + \omega_j(k)} + \frac{N_{kj}^0 + 1}{E - \tilde{E}(q+k) - \omega_j(k)} \right\}. \quad (4.14)$$

Пользуясь спектральной теоремой для функций Грина^{/3,6/} и учитывая (3.3), (4.2), можно получить уравнение для определения σ :

$$\sigma = 1 - \frac{2}{N} \sum_{q=-\infty}^{\infty} \int \frac{2 \operatorname{Im} \langle\langle b_q | b_q^+ \rangle\rangle}{\exp(\omega/\theta) - 1} \omega + i\delta d\omega, \quad \delta \rightarrow +0. \quad (4.15)$$

Энергия магнитных возбуждений и их затухание (обратное время жизни) определяются функцией Грина (4.13). Определяя вещественную и мнимую части массового оператора

$$M_q(\omega + i\delta) = M_q(\omega) - i\Gamma_q(\omega)$$

(ω – вещественное) и принимая во внимание тождество

$$\frac{1}{x + i\delta} = P \frac{1}{x} - i\pi\delta(x)$$

(P – означает главное значение), получим (см. более подробно /3/ и /8/) уравнение для энергии магнитных возбуждений $\epsilon(q)$:

$$\epsilon(q) = \tilde{E}(q) + M_q(\epsilon(q)), \quad (4.16)$$

где

$$M_q(\omega) = P \sum_{kj} |A_j(q; k)|^2 \left\{ \frac{N_{kj}^0}{E - \tilde{E}(q-k) + \omega_j(k)} + \frac{N_{kj}^0 + 1}{E - \tilde{E}(q-k) - \omega_j(k)} \right\}, \quad (4.17)$$

и выражение для затухания $\Gamma_q(\omega)$ (обратного времени жизни)

$$\begin{aligned} \Gamma_q(\omega) &= \pi \sum_{kj} |A_j(q; k)|^2 \left\{ N_{kj}^0 \delta(\omega - \tilde{E}(q-k) + \omega_j(k)) + \right. \\ &\quad \left. + (N_{kj}^0 + 1) \delta(\omega - \tilde{E}(q-k) - \omega_j(k)) \right\}. \end{aligned} \quad (4.18)$$

Таким образом, применяя метод, предложенный в работе^{1/4/}, мы получили уравнения для энергии магнитных возбуждений в ферромагнитном кристалле и их затухание, обусловленное спин-фононным взаимодействием. Мы учитывали только однофононные процессы (процессы рассеяния и распада магнитных возбуждений с участием фона), так как, видимо, они обладают наибольшей вероятностью. В отличие от других работ (например,^{1/2/}) мы вышли за рамки спин-волнового приближения и в качестве первого приближения для невзаимодействующих спиновой и фононной подсистемы использовали, соответственно, приближение хаотических фаз и псевдогармоническое приближение. Таким образом, нам удалось получить дополнительную перенормировку энергий магнитных возбуждений и их затухание, которые могут быть существенными, особенно в области высоких температур. Мы получили эти результаты, предполагая, что обменившийся интеграл является функцией расстояния между атомами, и не вводили дополнительно феноменологических констант спин-фононного взаимодействия.

Как применение полученных нами результатов, в следующем разделе мы рассмотрим вопрос о затухании магнитных возбуждений в ферромагнитном кристалле, актуальной в связи с последними экспериментальными исследованиями.

5. Оценка затухания магнитных возбуждений, обусловленного спин-фононным взаимодействием

Мы оценим теперь затухание магнитных возбуждений с энергией $\omega = \tilde{E}(q)$ (ср. (4.6)). Из (4.18) следует, что $\tilde{E}(q)$ описывает в первом приближении по спин-фононному взаимодействию энергию магнитных возбуждений в ферромагнетике.

Чтобы получить явную зависимость E от квазимпульса q , воспользуемся следующей зависимостью обменного интеграла $I(r)$

от расстояния между атомами r /9/:

$$I(r) = I \lambda \frac{\exp(-r/\lambda)}{r}, \quad I > 0, \quad r > 0. \quad (5.1)$$

λ имеет смысл эффективного радиуса действия обменных сил, I – энергия обменного взаимодействия.

Фурье-компоненты (5.1) имеют вид:

$$J(q) = J \frac{1}{1 + \frac{2}{\lambda} \frac{q}{v}}, \quad J = \frac{4\pi\lambda^3}{v} \quad I \equiv z_{eff} I \quad (5.2)$$

(v – объем элементарной ячейки).

z_{eff} можно интерпретировать как эффективное число соседей, т.е. число атомов, находящихся внутри сферы взаимодействия.

Для перенормированной фурье-компоненты обменного интеграла $\tilde{J}(q)$ (ср. (4.8)) примем следующие приближения:

$$\tilde{J}(q) = J(q) e^{-2W_q(0)} \approx J(q) [1 - 2W_q(0)]. \quad (5.3)$$

В случае кубического кристалла /7/:

$$2W_q(0) = q^2 \bar{u}^2, \\ \bar{u}^2 = \frac{1}{6NM} \sum_{kj} \frac{1}{\omega_j(k)} \operatorname{ctg} \frac{\omega_j(k)}{2\theta}, \quad (5.4)$$

где $\frac{u^2}{2}$ — среднеквадратичное смещение атома из положения равновесия.

Учитывая (5.3) и (5.4) для $\tilde{E}(q)$ (4.6), получим:

$$E(q) = \mu H + \frac{1}{2} \tilde{J} \sigma \frac{\lambda^2 q^2}{1 + \lambda^2 q^2},$$

$$\tilde{J} = J \left(1 + \frac{\frac{u^2}{2}}{\lambda^2} \right). \quad (5.5)$$

Для фононной системы примем модель Дебая. В этом приближении для продольных и поперечных фононов имеет место линейный закон дисперсии

$$\omega_{||}(k) = c_1 k, \quad \omega_{\perp}(k) = c_2 k, \quad (5.6)$$

где c_1 и c_2 — соответственно продольная и поперечная скорости звука. Выберем векторы поляризации следующим образом:

$$\vec{e}_1(k) \perp \vec{e}_2(k) \perp \vec{k}; \quad \vec{e}_3(k) || \vec{k} \quad (5.7)$$

и перейдем в выражении для затухания $\Gamma_q(E(q)) \equiv \Gamma_q$ (4.18) от суммирования по зоне Бриллюэна к интегрированию по сфере Дебая с радиусом $k_m = (6\pi^2/v)^{1/3}$:

$$\frac{1}{N} \sum_k \dots \rightarrow \frac{v}{(2\pi)^3} \int_0^{2\pi} d\phi \int_{-1}^1 d\xi \int_0^{k_m} dk k^2 \dots \quad (5.8)$$

$$\xi = \cos \theta, \quad v = a^3 - \text{объем кубической элементарной ячейки.}$$

Дальше представим затухание Γ_q (4.18) в виде суммы членов, описывающих процессы взаимодействия с продольными и поперечными фононами:

$$\Gamma_q = \Gamma_q^{||} + \Gamma_q^{\perp}, \quad (5.9)$$

и ограничимся рассмотрением затухания магнитных возбуждений с малыми квазимпульсами: $q \ll q_m = \frac{1}{a}$. Тогда, учитывая (4.7), (4.18), (5.5) – (5.9), получим:

$$\begin{aligned} \Gamma_q^{||} &= \frac{a^3 E(q)}{8\pi M c_1} \int_{-1}^1 d\xi \int_0^{k_m} dk k^2 (2q\xi^2 - 3k\xi + q)^2 \times \\ &\times \left\{ \frac{1}{\exp(c_1 k/\theta) - 1} \delta(k - 2q\xi - 2q_{||}) + \right. \\ &\left. + \frac{\exp(c_1 k/\theta)}{\exp(c_1 k/\theta) - 1} \delta(k - 2q\xi + 2q_{||}) \right\}, \end{aligned} \quad (5.10)$$

$$\begin{aligned} \Gamma_q^{\perp} &= \frac{a^3 E(q)}{8\pi M c_2} \int_{-1}^1 d\xi (1 - \xi^2) \int_0^{k_m} dk k^2 (k - 2q\xi)^2 \times \\ &\times \left\{ \frac{1}{\exp(c_2 k/\theta) - 1} \delta(k - 2q\xi - 2q_{\perp}) + \right. \\ &\left. + \frac{\exp(c_2 k/\theta)}{\exp(c_2 k/\theta) - 1} \delta(k - 2q\xi + 2q_{\perp}) \right\}, \end{aligned} \quad (5.11)$$

где

$$q_{||} = p_1 \left[\sigma \left(1 + \frac{\bar{u}^2}{\lambda^2} \right) \right]^{-1}, \quad p_1 = \frac{c_1}{J \lambda^2}, \quad (5.12)$$

$$q_{\perp} = p_2 \left[\sigma \left(1 + \frac{\bar{u}^2}{\lambda^2} \right) \right]^{-1}, \quad p_2 = \frac{c^2}{J \lambda^2},$$

$$\tilde{E}(q) \approx \frac{1}{2} J \lambda^2 \sigma \left(1 + \frac{\bar{u}^2}{\lambda^2} \right) q^2. \quad (5.13)$$

(мы приняли внешнее магнитное поле H равным нулю, $H=0$).

Величины $q_{||}$ и q_{\perp} имеют простой физический смысл, а именно: это пороговые значения квазимпульсов для процессов испускания, соответственно продольного и поперечного фононов магнитным возбуждением. Они зависят от температуры через намагниченность (отнесенную к одному узлу) σ , средний квадрат смещения \bar{u}^2 и скорости звука c_1 и c_2 . Если пренебречь температурной зависимостью c_1 и c_2 (она в обычных кристаллах слаба) и принять: $\lambda = a$, $q_m = a^{-1}$, $\theta_D = c_1/a = c_2/a$ (в единицах $\hbar = 1$), $J a^2 = 10 \theta_o q_m^{-2}$, то для $q_{||}$ и q_{\perp} получим следующую оценку:

$$q_{||} = q_{\perp} \approx 0,1 \frac{\theta_D}{\theta_o} q_m \left[\sigma \left(1 + \frac{\bar{u}^2}{\lambda^2} \right) \right]^{-1}, \quad (5.14)$$

где θ_o - температура Кюри, $\frac{\theta_D}{\theta_o}$ - температура Дебая.

При $\theta \approx 0$ $\left[\sigma \left(1 + \frac{\bar{u}^2}{\lambda^2} \right) \right]^{-1} \approx 1$ и пороговый импульс $(q_{||}, q_{\perp}) \approx 0,1 (\theta_D / \theta_o) q_m \ll q_m$, что совпадает с оценкой, основанной на спин-волновом приближении, приведенной в работе Кащеева и Кривоглаза^{1/2}. С ростом температуры пороговый импульс растёт, в основном за счёт убывания σ . Фактор $(1 + \bar{u}^2 / \lambda^2)$

вносит незначительную поправку, так как $\frac{a^2}{q^2} / a^2 \ll 1$ (при температуре плавления кристалла $\frac{a^3}{q^2} / a^2 \approx \frac{1}{16}$).

При температурах, близких θ_0 (но $< \theta_0$), $q_{||}$ и q_{\perp} могут достичь значений порядка максимального импульса q_m .

В формулах (5.10) и (5.11) выполним интегрирование по k , учитывая при этом, что $q < q_m$. В зависимости от того, какая из возможностей $q < (q_{||}, q_{\perp})$ выполняется, получим разные выражения, которые с помощью обозначений

$$z_1 = q / q_{||}, \quad z_2 = q / q_{\perp}, \quad (5.15)$$

$$f(x, z_1, \theta) = \frac{1}{z_1^3} \frac{x^2 (4x^2 - 2x - 2 - z_1^2)^2}{\exp(2c_1 q_{||} x / \theta) - 1}, \quad (5.16)$$

$$g(x; z_2, \theta) = \frac{1}{z_2^3} \frac{x^2 [z_2^2 - (x-1)^2]}{\exp(2c_2 q_{\perp} x / \theta) - 1}, \quad (5.17)$$

запишем в виде

$$\Gamma_{q_{||}}^{(1)} = \frac{\tilde{E}(q) a^3 q_{||}^4}{2\pi M c_1} \begin{cases} \int_0^{z_1+1} f(x; z_1, \theta) dx - \int_0^{z_1-1} f(-x; z_1, \theta) dx & \text{при } z_1 > 1, \\ \int_{1-z_1}^{1+z_1} f(x; z_1, \theta) dx & \text{при } z_1 < 1. \end{cases} \quad (5.18)$$

$$\Gamma_q^{\perp} = \frac{\frac{2E(q)a^8q_{\perp}^4}{\pi M c_2}}{\left\{ \begin{array}{l} \int_0^{z_2+1} g(x; z_2, \theta) dx - \int_0^{z_2-1} g(-x; z_2, \theta) dx \quad \text{при } z_2 > 1, \\ \int_{1-z_2}^{1+z_2} g(x; z_2, \theta) dx \quad \text{при } z_2 < 1. \end{array} \right.} \quad (5.19)$$

Формулы (5.18) и (5.19) позволяют, в принципе, при заданных q и θ и известной зависимости σ от θ (которая получается из уравнения (4.15)), вычислить затухание магнитных возбуждений, обусловленное спин-фононным взаимодействием. Так как точное решение уравнения для σ представляет трудности, для оценочных вычислений затухания можно воспользоваться решениями уравнения для σ , полученными без учёта спин-фононного взаимодействия. В предыдущей работе^{/4/} было показано, что учёт колебания атомов при слабом спин-фононном взаимодействии мало изменяет значения σ .

6. Обсуждение

Интегралы в формулах (5.18) и (5.19) элементарно не берутся. При произвольном q и θ надо выполнить численное интегрирование. Поэтому здесь мы рассмотрим только поведение затухания в граничных случаях. Имея в виду оценочный характер полученных формул, примем, что продольная и поперечная скорости звука одинаковы и что радиус действия обменных сил – порядка постоянной решетки $\lambda=a$. Дальше не будем выписывать явной зависимости скорости звука и среднеквадратического смещения $\overline{u^2}$ от температуры.

Рассмотрим затухание при $\theta=0$. Причиной затухания являются процессы распада магнитных возбуждений за счёт возбуждения колебаний

решетки. В полученных формулах полагаем $\sigma = 1$. Исследование общих формул (5.18) и (5.19) с учётом принятых предположений приводит к следующим результатам:

$$\Gamma_q \approx \begin{cases} 0 & \text{при } q < q_0 , \\ \frac{3 \tilde{E}(q) a^3 q_0^4}{2 \pi M c} \left(\frac{q}{q_0} - 1 \right)^3 & 0 < q - q_0 \ll q_0 , \\ \frac{8 \tilde{E}(q) a^3}{7 \pi M c} q^4 & \text{при } q \gg q_0 \end{cases} \quad (6.1)$$

$$\Gamma_{q \perp} \approx \begin{cases} 0 & \text{при } q < q_0 , \\ \frac{\tilde{E}(q) a^3 q_0^4}{3 \pi M c} \left(\frac{q}{q_0} - 1 \right) & \text{при } 0 < q - q_0 \ll q_0 , \\ \frac{4 \tilde{E}(q) a^3 q_0^2}{15 \pi M c} q^2 & \text{при } q \gg q_0 \end{cases} \quad (6.2)$$

где $q_0 = \frac{c}{J a^2} \left(1 + \frac{u^2}{a^2} \right)^{-1} \equiv p \left(1 + \frac{u^2}{a^2} \right)^{-1}$ (6.3)

является пороговым квазиймпульсом для процессов распада. Если пре-
небречь перенормировкой, связанный с колебаниями решетки, то формулы
(6.1) и (6.2) с точностью до числовых коэффициентов совпадают с ре-
зультатами работы Кашеева и Кривоглаза^{2/}.

Перейдем к рассмотрению затухания при температурах, отличных
от нуля.

Если выполняется условие

$$q \ll q_0 \sigma^{-1} \quad (6.4)$$

(вклад в затухание дают процессы рассеяния магнитных возбуждений фо-
нами), то из (5.18) и (5.19) мы получим следующие приближенные фор-
мулы для затухания:

$$\Gamma_q^{\parallel} = \frac{16 a^8 q_0^4}{\pi M c \sigma^4} \frac{\tilde{E}(q)}{\exp(2c q_0 / \theta \sigma) - 1}, \quad (6.6)$$

$$\Gamma_q^{\perp} = \frac{8 a^8 q_0^4}{3 \pi M c \sigma^4} \frac{\tilde{E}(q)}{\exp(2c q_0 / \theta \sigma) - 1}, \quad (6.5)$$

справедливые в целом интервале температур $0 \leq \theta < \theta_0$. При $\theta \rightarrow 0$ затухание экспоненциально убывает, стремясь к нулю (при $\theta \rightarrow 0$ причиной затухания являются процессы распада, см. выше). С ростом θ затухание растёт, причём особенно быстрый рост происходит в области температур, близких температуре Кюри за счёт уменьшения σ . Такой ход затухания действительно наблюдается в экспериментальных исследованиях магнитных возбуждений в ферромагнетиках (см., например, обзор^{/8/}).

Наконец, мы рассмотрим затухание магнитных возбуждений в области температур, где выполняется условие

$$\theta_0 = 2c q_0 \ll \theta \sigma < \theta_c, \quad (6.7)$$

а также при некоторых других значениях квазимпульсов, чем в (6.4). Применив тот же метод, что и в разделе 5, для θ_0 можно получить следующую оценку:

$$\theta_0 \approx 0.2 \left(\frac{\theta_D}{\theta_c} \right)^2 \theta_0. \quad (6.8)$$

Далее, если для σ как функции θ воспользоваться результатами, полученными в приближении хаотических фаз без учёта спин-фононного взаимодействия^{/3/}, то из простых рассуждений следует, что условие (6.7) будет хорошо выполняться в интервале температур: $\theta_D \leq \theta \leq 0.9 \theta_c$. В рассматриваемой области температур затухание описывается следующими приближенными формулами:

$$\Gamma_q = \begin{cases} \frac{10 E(q) a^8 q_0^4}{\pi M c \sigma^3} \left[1 + \frac{107}{150} \left(\frac{q \sigma}{q_0} \right)^2 \right] \frac{\theta}{\theta_0}, & \text{при } q \leq q_0, \\ \frac{7 E(q) a^8 q_0^8}{6 \pi M c} \left[1 + \frac{48}{49} \frac{\theta_0 q}{\theta q_0} \right] \frac{\theta}{\theta_0}, & \text{при } q \gg q_0; \end{cases} \quad (6.9)$$

$$\Gamma_q^{\perp} \approx \begin{cases} \frac{8\tilde{E}(q)a^8q_0^4}{3\pi Mc\sigma^8} \frac{\theta}{\theta_0} & \text{при } q \leq q_0, \\ \frac{\tilde{E}(q)a^8q_0^8q}{\pi Mc\sigma^2} \left[1 + \frac{4}{15} \frac{\theta_0}{\theta} \frac{q}{q_0} \right] \frac{\theta}{\theta_0} & \text{при } q \gg q_0. \end{cases} \quad (6.10)$$

В заключение приведем некоторые численные оценки затухания. Для этого примем следующие значения параметров:

$$M = 10^{-22} \text{ г}, \quad c = 5 \cdot 10^5 \text{ см/сек}, \quad a = 3 \text{ \AA}, \quad \theta_D / \theta_0 = 0,4.$$

Тогда, согласно (5.14) и (6.8), получим: $q_0 = 4 \cdot 10^{-2} q_m$, ($q_m = \frac{1}{a}$), $\theta_0 = 3 \cdot 10^{-8} \theta_0$.

Оценим затухание при температурах: $\theta = 0$; $0,3\theta_0$; $0,76\theta_0$.

Для σ воспользуемся значениями, полученными в приближении случайных фаз без учёта спин-фононного взаимодействия. Для простой кубической решетки имеем (см., стр. 270):

$$\sigma = 1 \quad \text{при } \theta = 0,$$

$$\sigma = 0,94 \quad \text{при } \theta = 0,3\theta_0,$$

$$\sigma = 0,65 \quad \text{при } \theta = 0,76\theta_0.$$

Результаты вычислений запишем в обычной системе единиц.

При $q = 0,5 q_m \gg q_0$ с учётом (5.13) (6.1-2), (6.9-10), получим:

$$\theta = 0, \quad \Gamma_q^{\parallel} \approx 10^{-2} \tilde{E}(q) / \hbar \approx 10^{-1} \theta_0 / \hbar,$$

$$\theta = 0,3\theta_0, \quad \Gamma_q^{\parallel} \approx 10^{-2} \tilde{E}(q) / \hbar \approx 10^{-1} \theta_0 / \hbar,$$

$$\theta = 0,76\theta_0, \quad \Gamma_q^{\parallel} \approx \tilde{E}(q) / \hbar \approx 10 \theta_0 / \hbar.$$

При всех значениях θ Γ_q^{\perp} значительно меньше Γ_q^{\parallel} .

Если же $q = 0,5 \theta_0 < \theta_0$, то согласно (6.5), с учётом (5.13), получим:

при $\theta = 0,3 \theta_0$ $\Gamma_q^{\parallel} \approx 10^{-5} E(q)/h \approx 10^{-7} \theta_0/h$,

при $\theta = 0,76 \theta_0$ $\Gamma_q^{\parallel} \approx 10^{-4} E(q)/h \approx 10^{-6} \theta_0/h$.

Γ_q^{\perp} на порядок величины меньше Γ_q^{\parallel} .

Отметим, что в интервале температур $0,15 \theta_0 \leq \theta \leq 0,98 \theta_0$ затухание возрастает примерно на три порядка величины.

Таким образом, из наших предварительных оценок следует, что особенно сильный рост затухания магнитных возбуждений, обусловленного их взаимодействием с фононами, имеет место в непосредственной близости от точки Кюри. В остальной области температур затухание мало и может быть большим только при больших значениях квазимпульса q .

В заключение подчеркнем, что полученные в этой работе формулы для энергии и затухания магнитных возбуждений могут быть пригодны в качестве формул для интерпретации экспериментальных данных по исследованию магнитных возбуждений в ферромагнетиках. Обобщение использованного в работе метода на случай $S > 1/2$ не представляет труда.

Тема этой работы была предложена профессором С.В.Тябликовым. Его советы, указания и замечания были для автора большой помощью.

Автор выражает свою глубокую признательность профессору Д.Н.Зубареву и Н.М.Плакиде за плодотворные обсуждения.

Л и т е р а т у р а

1. А.И.Ахиезер, В.Г.Барьяхтар, М.И.Каганов. УФН, 71, 553 (1960); 72, 3 (1960).
2. В.Н.Кашеев, М.А.Кривоглаз, ФТТ, 3, 1541 (1961).
3. С.В.Тябликов. Методы квантовой теории магнетизма, Наука, Москва, 1965.
4. С.В.Тябликов и Г.Конвент. Препринт ОИЯИ, Дубна, Р4-3794, 1968; Physics Letters, 27A, 130 (1968).
5. Н.М.Плакида, Т.Шиклош. Препринт ОИЯИ, Дубна, Р4-3449, 1967; Acta Phys. Hungarica (в печати).
6. Н.Н.Боголюбов, С.В.Тябликов. ДАН СССР, 126, 53 (1959); Д.Н.Зубарев, УФН, 71, 71 (1960).
7. А.Марадулин, Э.Монтролл, Дж.Вейсс. Динамическая теория кристаллической решетки в гармоническом приближении, Мир, Москва, 1965.
8. H.B.Møller. Inelastic Scattering of Neutrons SM-104/205 (IAEA 1968).
9. H.S.Bennet. Ann. Phys. (N.Y.), 39, 127 (1965).

Рукопись поступила в издательский отдел
9 августа 1968 года.